к исследованию динамики вентильных ЭЛЕКТРОПРИВОДОВ на полностью управляемых преобразователях

А. И. ЗАИЦЕВ, В. Н. МИШИН

Рекомендована научным семинаром электромеханического факультета

Ввиду нелинейности характеристик вентильного электропривода в области прерывистых токов исследование динамики целесообразно проводить в два этапа: анализ поведения линеаризованной системы в малом и исследования в большом. В настоящей работе рассматривается линеаризация характеристик привода, работающего в различных режимах прерывистого тока для исследования динамики систем в малом.

Расчеты проведем в предположении, что параметры двигателя R, L и магнитный поток Ф постоянны, падения напряжения на вентилях преобразователя $E_{\scriptscriptstyle B}$ равны и не зависят от величины протекающего тока, питание системы осуществляется от абсолютно жесткой сети бесконечной мощности.

Обозначим:

 U_m — амплитуда фазного напряжения сети;

ω — угловая частота сети;

m — число фаз преобразователя;

$$m$$
 — число фаз преобразова E — э. д. с. двигателя; $\varepsilon = \frac{E + E_{\rm B}}{U_m}$ — относительная э. д. с.;

$$j = \frac{iR}{U_m}$$
 — относительный ток;

ν_в, λ — угол включения силовых вентилей и продолжительность включения соответственно;

$$\operatorname{tg}\Theta = \omega \frac{L}{R}$$
 — параметр двигателя.

При принятых допущениях ток в относительных единицах соответствует относительному электромагнитному моменту двигателя, а скорость определяется величиной относительной э. д. с. Таким образом усредненная механическая характеристика в относительных единицах задается функцией $\varepsilon = f(i_{cp})$. Переход от относительных скоростей и момента к абсолютным совершается на основании следующих формул

$$n = (\varepsilon - \varepsilon_{\rm B}) n_0 = (\varepsilon - \varepsilon_{\rm B}) \frac{U_m}{C_{\rm e} \Phi}, \tag{1}$$

$$M = j_{\rm cp} M_{\rm o} = j_{\rm cp} \frac{U_m}{R} C_{\rm M} \Phi, \qquad (2)$$

где $s_B \frac{E_B}{U_m}$ — относительное падение напряжения на вентилях; C_e , $C_{\rm M}$ — коэффициенты пропорциональности.

Как показано в [1], переходные процессы вентильного электропривода с достаточно высокой степенью точности можно рассчитывать по усредненным механическим характеристикам. В общем случае для управляемых систем с нулевыми вентилями механические характеристики представляют собой нелинейную функцию $\varepsilon = f(v_E, \lambda, j_{cp})$, разлагая которую в ряд Тэйлора и отбрасывая нелийный остаток, получим линеаризованное уравнение в отклонениях

$$\varepsilon = \varepsilon_0 + k_n \Delta v_B + k_\lambda \Delta \lambda + k_i \Delta \lambda, \tag{3}$$

где

$$k_v = \frac{\partial s}{\partial v_B}, \quad k_\lambda = \frac{\partial \varepsilon}{\partial \lambda}, \quad k_j = \frac{\partial \varepsilon}{\partial c_D}$$
 (4)

— угловые коэффициенты соответственно: регулировочных характеристик $\varepsilon = f(v_B)$ и $\varepsilon = f(\lambda)$ при $j_{cp} = \mathrm{const}$ и механической характеристики $\varepsilon = f(j_{cp})$ при $v_B = \mathrm{const}$, $\lambda = \mathrm{const}$; в рабочей точке $v_B = v_{B_0}$, $\lambda = \lambda_0$, $j_{cp} = j_{cp}$ о.

Значение коэффициентов линеаризованной механической характеристики можно определить графически непосредственно по характеристикам или найти с помощью соответствующих формул.

Уравнение (3) в абсолютных единицах имеет вид

$$n = n_* + k_{\nu}' \Delta \nu_{\rm B} + k_{\lambda}' \Delta \lambda - k_{\rm M} \Delta M, \tag{5}$$

где:

$$k_{v}' = \frac{\partial n}{\partial v_{\rm B}} = k_{v} \frac{U_{m}}{C_{v} \Phi} = k_{v} n_{0}; \tag{6}$$

$$k_{\lambda}' = \frac{\partial n}{\partial_{\lambda}} = k_{\lambda} \, n_{0}; \tag{7}$$

$$k_{\rm M} = \frac{\partial n}{\partial M} = -k_{\rm J} \frac{R}{C_{\rm R} G_{\rm M} \Phi^2}. \tag{8}$$

В соответствии с выражениями (4) рассчитаем формулы для вычисления коэффициентов мехапической характеристики двигателя, питающегося ог полностью управляемого преобразователя, в различных режимах работы.

1. Ток двигателя спадает до нуля, протекая через силовые вентили. Механическая характеристика в относительных единицах здесь задана в параметрической форме уравнением для среднего тока [1].

$$j_{\rm ep} = \frac{m}{\pi} \sin\left(\nu_{\rm B} + \frac{\lambda}{2}\right) \sin\frac{\lambda}{2} - \frac{m}{2\pi} \lambda \epsilon \tag{9}$$

или уравнением для противо-э. д.·с. [i].

$$\varepsilon = \cos\Theta \frac{\sin(\nu_B - \theta) - \sin(\nu_B - \theta + \lambda) e^{\lambda \cot\theta}}{1 - e^{\lambda \cot\theta}}.$$
 (10)

Выражение для углового коэффициента регулировочной характеристики $\varepsilon = f(v_B)$ найдем из (10) [1]

$$k_{v} = \frac{\cos \theta}{1 - e^{\lambda \cot \theta}} [\cos (v_{B} - \Theta) - \cos (v_{B} - \Theta + \lambda) e^{\lambda \cot \theta}]. \tag{11}$$

Угловой коэффициент при Дх равен нулю, так как в рассматрива-

емом режиме продолжительность включения силовых вентилей не мо-

жет являться независимой переменной.

Угловой коэффициент механической характеристики найдем из (9), предварительно определив из (10) частную производную $\frac{\partial \varepsilon}{\partial \lambda}$ и окончательно получим

$$k_{j} = \frac{-2\pi}{m \left[\lambda - \left(e^{-\lambda \operatorname{ctg} \Theta} - 1\right) \operatorname{tg} \Theta\right]}.$$
 (12)

Для рассматриваемого режима характерной является неуправляемая работа преобразователя, что имеет место, если команда на включение силового вентиля приходит, когда его анодное напряжение меньше противо-э. д. с. в цепи постоянного тока. При этом фактический угол включения вентилей находится как

$$v_{\rm B} = \arcsin \varepsilon,$$
 (13)

коэффициенты регулировочных характеристик равны нулю, а угловой коэффциент механической характеристики равен

$$k_{j} = \frac{2\pi}{m} \sqrt{1 - \varepsilon^{2}} : \left\{ \sqrt{1 - \varepsilon^{2}} \left[(1 - e^{-\lambda \operatorname{ctg} \Theta}) \operatorname{tg} \Theta - \lambda \right] + \right. \\ + \sin \Theta \left[e^{-\lambda \operatorname{ctg} \Theta} \cdot \cos \left(\operatorname{arc} \sin \varepsilon - \Theta \right) - \cos \left(\operatorname{arc} \sin \varepsilon - \Theta + \lambda \right) \right] + \\ + 2 \sin \frac{\lambda}{2} \cos \left(\operatorname{ars} \sin \varepsilon + \frac{\lambda}{2} \right) \right\}.$$
 (14)

2. Ток уменьшается до нуля, протекая через нулевой вентиль. В данном режиме механические характеристики определяются уравнениями [2], [3].

$$j_{\rm cp} = \frac{m}{\pi} \sin \frac{\lambda}{2} \sin \left(v_{\rm B} + \frac{\lambda}{2} \right) - \frac{m}{2\pi} (\lambda + \lambda_{\rm m}) \, \mathfrak{s}, \tag{15}$$

$$\varepsilon = \cos\Theta - \frac{e^{\lambda \operatorname{ctg} \theta} \sin(\nu_{B} - \theta + \lambda) - \sin(\nu_{B} - \theta)}{e^{(\lambda + \lambda_{B}) \operatorname{ctg} \theta} - 1},$$
(16)

где $\lambda_{\rm n}$ — продолжительность работы нулевого вентиля.

По аналогии с вышеизложенным угловые коэффициенты характеристик привода в соответствии с (4) найдем с помощью уравнений (14 и (15).

$$k_v = \cos\Theta \frac{\cos(\nu_B - \Theta) - \cos(\nu_B - \Theta + \lambda) e^{\lambda \cot \theta}}{1 - e^{(\lambda + \lambda_{\Pi}) \cot \theta}},$$
 (17)

$$k_{\lambda} = \frac{\operatorname{ctg} \Theta}{1 - e^{-(\lambda + \lambda_{\Pi})\operatorname{ctg} \Theta}} [e^{-\lambda_{\Pi} \operatorname{ctg} \Theta} \sin(\nu_{B} + \lambda) - \varepsilon], \tag{18}$$

$$k_j = \frac{2\pi}{m\{[1 - e^{-(\lambda + \lambda_{\Pi}) \operatorname{csg} \Theta}] \operatorname{tg} \Theta - (\lambda + \lambda_{\Pi})\}}.$$
 (19)

В рассматриваемом режиме прерывистых токов также возможен случай, когда действительные углы включения вентилей соответствуют выражению (13), тогда фактические углы продолжительности включения силовых вентилей можно найти через задаваемые схемой управления как

$$\lambda' = v_{\rm B} + \lambda - \arcsin \varepsilon. \tag{20}$$

Заменив λ в формуле (16) на λ' из (20) и продиференцировав полученное выражение согласно (4), получим коэффициенты регулировочных характеристик

$$k_{v} = k_{\lambda} = \left[\varepsilon e^{\lambda_{\Pi} \cot \theta} - \sin \left(v_{B} + \lambda \right) \right] : \left\{ \left[e^{-\lambda' \cot \theta} - e^{\lambda_{\Pi} \cot \theta} \right] \operatorname{tg} \Theta - \frac{1}{\sqrt{1 - \varepsilon^{2}}} \left[e^{-\lambda' \cot \theta} \cdot \sin \Theta \cos \left(\arcsin \varepsilon - \Theta \right) + \cos \Theta \sin \left(v_{B} - \Theta + \lambda \right) - \varepsilon e^{\lambda_{\Pi} \cot \theta} \right] \right\},$$
(21)

которые оказываются равными ввиду равноценности регулирования скорости в данном случае изменением углов включения или продолжительности включения, так как любой из способов адэкватно ведет в конечном счете к изменению величины действительной продолжительности включения χ' . Учитывая (20), найдем с помощью (15) и (16) угловой коэффициент механических характеристик

$$k_{j} = \frac{2\pi}{m} : \left\{ 1 - e^{-(\lambda' + \lambda_{\Pi}) \operatorname{ctg} \Theta} \right\} \operatorname{tg} \Theta + \frac{e^{-\lambda_{\Pi} \operatorname{ctg} \Theta}}{\sqrt{1 - \varepsilon^{2}}} \left[e^{-\lambda' \operatorname{ctg} \Theta} \sin \Theta \times \cos \left(\operatorname{arc} \sin \varepsilon - \Theta \right) + \cos \Theta \sin \left(v_{B} - \Theta + \lambda \right) - \varepsilon e^{\lambda \operatorname{ctg} \Theta} \right] - (\lambda' + \lambda_{\Pi}) \right\} m. (22)$$

3. Режим прерывистых токов, спадающих до нуля при работе силовых вентилей в области углов $\frac{\pi}{2} > U_n < {\rm arc}$ Sine.

Последний режим прерывистых токов характеризуется двукратной работой каждого силового вентиля в цикле [2], [3].

Механические характеристики здесь задаются уравнениями [3].

$$j_{\rm cp} = \frac{m}{\pi} \left[\sin\left(\nu_{\rm B} + \frac{\lambda_{1}}{2}\right) \sin\frac{\lambda_{1}}{2} + \sin\frac{\nu_{\rm B} + \lambda - \nu_{\rm B_{2}}}{2} \sin\frac{\nu_{\rm B} + \lambda + \nu_{\rm B_{2}}}{2} \right] - \frac{m}{2\pi} \left(\frac{2\pi}{m} - \nu_{\rm B_{2}} + \nu_{\rm B} + \lambda_{1} \right) \varepsilon,$$

$$e^{\lambda_{1} \operatorname{ctg} \Theta} \cdot \sin\left(\nu_{\rm B} - \Theta + \lambda_{1}\right) - \sin\left(\nu_{\rm B} - \Theta\right) + \sin\left(\nu_{\rm B} - \Theta + \lambda\right) e^{-\frac{2\pi}{m} - \lambda \operatorname{ctg} \Theta}$$

$$(23)$$

$$\varepsilon = \cos\Theta - \frac{-\sin(v_{B_2} - \theta) e^{-\left(\frac{2\pi}{m} + v_B - v_{B_2}\right) \operatorname{ctg} \theta}}{e^{\lambda_1 \operatorname{ctg} \theta} - e^{-\left(\frac{2\pi}{m} + v_B - v_{B_2}\right) \operatorname{ctg} \theta}}, (24)$$

где λ и λ_1 — заданная продолжительность включения и продолжительность первого включения силовых вентилей соответственно;

 $_{
m PB_2}={
m arc \, sin}\, arepsilon$ фазовый угол второго включения.

Угловые коэффициенты характеристик найдем из (23) — (24) в соответствии с (4)

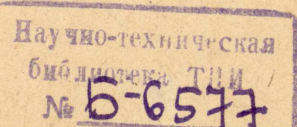
$$k_{v} = \cos\Theta \left\{ e^{\lambda_{1} \operatorname{ctg}\Theta} \cdot \cos\left(\nu_{B} - \Theta + \lambda_{1}\right) - \cos\left(\nu_{B} - \Theta\right) + \cos\left(\nu_{B} - \Theta + \lambda\right) e^{-\left(\frac{2\pi}{m} - \lambda\right)\operatorname{ctg}\Theta} + \left[\sin\left(\nu_{B_{2}} - \Theta\right)\operatorname{ctg}\Theta - \cos\left(\nu_{B} - \Theta\right)\right] \right\}$$

$$-\frac{1}{\sin \theta} \left[e^{-\left(\frac{2\pi}{m} + v_{\mathrm{B}} - v_{\mathrm{B}_{2}}\right) \operatorname{ctg} \Theta} \right] : \left[e^{\lambda \operatorname{ctg} \Theta} - e^{-\left(\frac{2\pi}{m} + v_{\mathrm{B}} - v_{\mathrm{B}_{2}}\right) \operatorname{ctg} \Theta} \right]. \tag{25}$$

$$k_{\lambda} = \frac{\operatorname{ctg} \Theta \sin (v_{B} + \lambda)}{e^{\left(\frac{2\pi}{m} + \lambda_{1} - \lambda\right) \operatorname{ctg} \Theta} - e^{-\left(v_{B} + \lambda - v_{B_{2}}\right) \operatorname{ctg} \Theta}},$$
 (26)

$$k_{j} = \frac{2\pi}{m \left\{ \left[1 - e^{-\left(\frac{2\pi}{m} + \frac{\lambda_{1}}{\mu} - \frac{2\pi}{\mu} + \frac{\lambda_{1}}{\mu}\right) \operatorname{ctg} \Theta} \right] \operatorname{tg} \Theta + \frac{2\pi}{\mu} \right\}}.$$
 (27)

2—7791



4. Режим непрерывных токов.

В области непрерывного тока механические характеристики привода прямолинейны и имеют вид [1]

$$j_{\rm cp} = \frac{m}{\pi} \sin \frac{\lambda}{2} \sin \left(v_{\rm B} + \frac{\lambda}{2} \right) - \varepsilon. \tag{28}$$

Взяв соответствующие частные производные, из (28) получим угловые коэффициенты в виде

$$k_v = \frac{m}{\pi} \sin \frac{\lambda}{2} \cos \left(\nu_{\rm B} + \frac{\lambda}{2} \right), \tag{29}$$

$$k_{\lambda} = \frac{m}{2\pi} \sin{(\nu_{\rm B} + \lambda)}. \tag{30}$$

$$k_j = -1. (31)$$

В области непрерывного тока крутизна механических характеристик двигателя независимого возбуждения пропорциональна омическому сопротивлению цепи якоря (8)

$$k_{\rm M} = \frac{R}{C_{\rm e} C_{\rm M} \Phi^2}. \tag{32}$$

Крутизну усредненных характеристик в области прерывистых токов также можно оценивать некоторым фиктивным омическим сопротивлением [1]

$$k_{\rm M} = \frac{R_{\rm ch}}{C_{\rm c} C_{\rm M} \varphi^2},\tag{33}$$

которое для данной рабочей точки, сравнивая (8) и (33), выразим как

$$R_{\Phi} = -k_{i}R. \tag{34}$$

Расчет динамики на основании усредненных механических характеристик предполагает нахождение полезной, так называемой «гладкой» составляющей переходных процессов. При этом в области прерывистого тока не нужно учитывать индуктивность цепи якоря, так как ее влияние полностью учтено при расчете усредненных характеристик. Влияние индуктивности отражается фиктивным омическим сопротивлением

Динамика усредненного процесса в области прерывистых токов может быть рассчитана на основании усредненной линеаризованной механической характеристики (5) и уравнения движения привода в отклонениях

$$\Delta n = k_{b} \Delta v + k_{\lambda} \Delta \lambda - k_{M} \Delta \tilde{M}$$

$$\Delta M = I \frac{d(n)}{dt}$$
(35)

где I — приведенный к валу двигателя момент инерции привода. Решая систему (35) относительно отклонения скорости, получим уравнение, характеризующее динамику привода

$$\Delta n = k_{v}^{\prime} \Delta v + k_{v}^{\prime} \Delta \lambda - T_{M} \frac{d(\Delta n)}{dt}, \qquad (36)$$

где $T_{\text{м}} = Ik_{\text{м}}$ — электромеханическая постоянная времени.

В общем случае в системах с нулевыми вентилями управление может осуществляться как изменением углов включения, так и продолжительности включения силовых вентилей. При поочередном управлении передаточные функции звена «выпрямитель-двигатель» в зависи-

мости от регулируемой координаты на основании (36) будут иметь вид

$$W(p)_{\nu} = \frac{\Delta n(\rho)}{\Delta v_{\rm B}(p)} = \frac{k_{\nu}'}{1 + T_{\rm M} p},$$
 (37)

$$W(p)_{\lambda} = \frac{\Delta n(p)}{\Delta(p)} = \frac{k'_{\lambda}}{1 + T_{M}p}.$$
 (38)

При одновременном изменении υв и λ исследования удобнее проводить, считая независимой переменной некую обобщенную координату, например, напряжение на входе схемы управления ($\Delta U_{\it u}$). Тогда, считая схему управления безинерционной, перепишем (36) в виде

$$(1+T_{\rm M}p)\,\Delta n = [k_{(\cdot)}k_{\nu}' + k_{(\lambda)}k_{\lambda}']\,\Delta U_{n},\tag{39}$$

 $k_{(v)}=rac{\partial v_{
m B}}{\partial U_{
m y}}, \qquad k_{(\lambda)}=rac{\partial \lambda}{\partial U_{
m y}}$ — коэффициенты усиления схемы уп-

Из (39) получим передаточную функцию как

$$W(p) = \frac{\Delta n(p)}{\Delta U_{\chi}(p)} = \frac{k}{1 + T_{\rm M} p}, \qquad (40)$$

где $k=k_{(v)}k_{v}^{'}+k_{(\lambda)}$ $k_{\lambda}^{'}$ — обобщенный коэффициент усиления звеньев «схема управления — преобразователь — двига-

Как следует из (37), (38), (40) двигатель независимого возбуждения в режимах прерывистого тока представляет собой апериодическое звено первого порядка. Электромагнитная постоянная времени в выражения передаточной функции в этих режимах не входит, так как электромагнитный переходный процесс заканчивается с каждым импульсом тока, никак не сказываясь на последующих импульсах.

В области непрерывного тока передаточные функции звена «выпрямитель-двигатель» примут свой обычный вид

$$W(p)_{\nu} = \frac{k'_{o}}{T_{M}T_{M}p^{2} + T_{M}p + 1}, \tag{41}$$

$$W(p)_{\lambda} = \frac{k'_{\nu}}{T_{M} T_{R} p^{2} + T_{M} p + 1}, \qquad (42)$$

$$W(p) = \frac{k}{T_{\rm M} T_{\rm S} p^2 + T_{\rm M} p + 1}, \tag{43}$$

где $T_{\rm s} = \frac{L}{R}$ — электромагнитная постоянная времени якорной цепи.

Вычислив по полученным выражениям угловые коэффициенты регулировочных и механических характеристик и передаточные функции в окрестностях выбранной рабочей точки, можно переходить непосредственно к исследованию в малом конкретной системы, используя общензвестные методы и приемы линейной теории автоматического регулирования.

ЛИТЕРАТУРА

1. А. А. Булгаков. Основы динамики управляемых вентильных систем. Изд. АН СССР, 1963. 2. А. И. Зайцев, В. Н. Мишин. К расчету некоторых мутаторов на полно-

стью управляемых элементах. Известия ТПИ, т. 153, 1965. 3. А. И. Зайцев, В. Н. Мишин. Режимы прерывистого тока полностью управляемых преобразователей. Настоящий том.